



ارائه شده توسط :

سایت ترجمه فا

مرجع جدیدترین مقالات ترجمه شده

از نشریات معابر

اثرات اندازه دندانه گذاری در نano سختی و میکرو سختی شیشه فلزی

حجیم با پایه آهن

چکیده

سختی شیشه فلزی حجیم با پایه آهن BMG طبق نانودندانه گذاری میکروسکوپ نیروی اتمی AFM (نانوسختی) و دندانه گذاری ابزاری با تنظیمات دندانه گذار معمولی (میکروسختی) تحت بارهای ماکریم مختلف در درجه حرارت اتاق ارزیابی گردید. نانوسختی و میکروسختی مشخص گردید که قابل مقایسه است. برای هر دو روش‌های دندانه گذاری، اثر اندازه دندانه گذاریISE به شکل افزایش سختی با کاهش بار پیک دندانه گذاری شناسایی گردید. مطرح شده که میزان کرنش وابسته به نرمسازی، سابقه بارگیری و وقفه میان خلق حجم آزاد و نرم سازی مکانیکی باید مسئولISE در این BMG باشد. بعلاوهISE معلوم گردید که در نانودندانه گذاریAFM نسبت به دندانه گذاری ابزاری برجسته تر بوده است. این امر را می‌توان از طریق توجیه اثر بار پیک وارد و زاویه وجوده دندانه گذار در یک حالت کیفی توضیح داد.

کلمات کلیدی: شیشه فلزی، نانودندانه گذاری میکروسکوپ نیروی اتمی، سختی نano، سختی میکرو، اثر اندازه دندانه

1- مقدمه

در دهه اخیر، خواص مکانیکی شیشه‌های فلزی حجیم BMG‌های طبق مقیاس نano تحقیقات گسترده‌ای را موجب گردیده است. اخیراً، ناهمگنی‌های ساختاری و مکانیکی میکروسکوپیک در BMG‌های با پایه Ti و CuZr و Wang و همکارانش به کمیت سنجی Ni و Pd و Zr و Wang یافت شده است. براساس تست‌های نانوساختاری فضایی، و همکارانش به کمیت سنجی ناهمگنی مکانیکی BMG با پایه $Zr_{64.13}Cu_{15.75}Ni_{10.12}Al_{10}$ پرداختند که کرنش قابل انعطاف آن بنا به گزارش بالای 160 درصد در درجه حرارت اتاق گزارش گردیده است و قابلیت انعطاف فوق العاده به ناهمگنی ساختاری به اندازه میکرومتری مجزا نسبت داده شده است (یعنی نواحی نرم و سخت). ازسوی دیگر، سختی نانودندانه سازی باندهای برشی منفرد در BMG‌ها توسط برخی نویسندها برای درک بهتر نقش حجم ازاد در مکان یابی برشی

پدیده شناختی در شیشه های فلزی مورد تحقیق قرار گرفته است. ۷۰۰ و همکارانش دریافتند که سختی باندهای برشی که ضخامت آنها در دامنه صدها نانومتری گزارش گردیده است، خیلی پایین تر از سختی مربوطه ناحیه بدون شکل می باشد. از مطلب فوق می توان دید که چون توجهات به بررسی خصوصیات مکانیکی نمونه های کوچک افزایش یافته است، تکنیک های دندانه گذاری باید طبق یک مقیاس حتی ظرفیتی برای تطابق اندازه اثر با ابعاد شی بکار گرفته شود. برای انجام این هدف، نانودندانه گذاری میکروسکوپ نیروی اتمی AFM که بنا به ادعا قادر به استخراج اطلاعات مکانیکی کمی همراه با تفکیک فضایی بالای ذاتی تصویربرداری می باشد، می تواند ابزاری قدرتمند برای مشخصه سازی خصوصیات نانومقیاس BMG ها باشد. پیمایش قبلی سطح با AFM به فرد امکان انتخاب حیطه های مورد نظر را می دهد. این روزها این تکنیک بطور گسترده ای برای ارزیابی سختی طبق مقیاس نانومتری در انواع مواد بکار گرفته شده است ولیکن بکارگیری آن روی BMG ها تا انجا که می دانیم همچنان یک مسئله پابرجاست.

طی دندانه گذاری، جالبترین پدیده همان اثر اندازه دندانه گذاری ISE می باشد که به شکل افزایش در سختی H_{max} با کاهش بار پیک دندانه گذاری P_{max} بیان می شود. به طور عادی، ISE بنا به انتظار در BMG ها به دلیل فقدان جابجایی ها و سخت شدگی کرنشی ایجاد نمی شود. ولیکن در برخی تحقیقات ISE در BMG های با پایه Zr و Pd و Au و جامدات بی شکل گزارش گردیده است. نرمسازی در اثر القای کرنشی به دلیل ایجاد حجم آزاد بیش از حد طی بدشکلی قابل انعطاف به شکل دلیل اصلی برای ISE تلقی می شود. تا به امروز، ISE گزارش شده در BMG ها اساسا با دندانه گذاری ابزاری در مقیاس میکرومتری (با بار پیک تقریبا mN) مطالعه گردیده است. ازا یورو کنجکاویم بدانیم که آیا و چگونه ISE طبق یک مقیاس نانومتری تحت نانودندانه گذاری AFM وجود دارد، چرا که مکانیسم های احتمالی ایجاد کننده ISE می توانند نقشی کلیدی را با درک بهتر بدشکلی قابل انعطاف در BMG ها ایفا نماید.

با توجه به این امر، ما نانودندانه گذاری و تست های دندانه گذاری ابزاری را برای ارزیابی سختی دقیقا همن نمونه BMG های $(\text{Fe}_{0.432}\text{Co}_{0.288}\text{B}_{0.192}\text{Si}_{0.048}\text{Nb}_{0.04})_{96}\text{Cr}_4$ را در درجه حرارت اتاق اجرا کرده ایم. نتایج نشان داده است که مقادیر سختی حاصله از نانودندانه گذاری AFM با مقادیر بدست آمده از دندانه گذاری ابزاری قابل مقایسه است. رفتارهای ISE به وضوح در BMG مطالعه شده نه تنها در مقیاس میکرومتری بلکه در مقیاس

نانومتری وجود دارد. ISE در نانوبدانه گذاری AFM نسبت به دندانه گذاری ابزاری مهمتر است. این تغییر و مکانیسم احتمالی ISE در BMG‌ها مورد بحث قرار گرفته است.

2-روش آزمایش

BMG با ترکیب نامی $(\text{Fe}_{0.432}\text{Co}_{0.288}\text{B}_{0.192}\text{Si}_{0.048}\text{Nb}_{0.04})_{98}\text{Cr}_2$ با پایه Fe برای رعایت اختصار در این مقاله) برای این مطالعه انتخاب گردید. میله‌های استوانه‌ای به قطر 3 میلیمتری و طول 40 میلیمتری با قالبگیری مسی ساخته شد. ساختار بی‌شک الیاژ با افتراق اشعه ایکس به کمک تابش $\text{Cu K}\alpha$ تعیین گردید (رفرانس 29).

تست‌های دندانه گذاری ابزاری با استفاده از دستگاه دندانه گذار تریبو از شرکت Hysitron با دندانه گذار الماس استاندارد مارک Berkovich اجرا گردید. ازمایشات در میزان بارگذاری ثابت به میزان 2 mN s^{-1} تا حد بارگذاری 50 و 100 و 150 و 200 mN انجام گرفت. دست کم شش تست دندانه گذاری تحت هر شرایط انجام گردید. تست نانوبدانه گذاری AFM با استفاده از یک AFM (شرکت Dimension 3100, DI (NanoscopeIII مجهز به یک نوک الماسی نصب شده روی یک بازوی فولادی انجام گرفت. حساسیت بازو که طبق نمونه یاقوت کبود قبل و بعد از تست‌های دندانه گذاری کالیبراسیون شده بود برابر 95 nm V^{-1} با یک ثابت فنری حدود 235 N m^{-1} می‌باشد. هندسه نوک دندانه گذار شامل یک هرم سه وجهی تیز بود که قاعده آن مثلث متساوی الاضلاع با زاویه نیمه برابر با $30 \pm 2^\circ$ بود. شعاع اینها در راس نوک به طور نامی کمتر از 20 nm می‌باشد. فراوانی چرخه دندانه گذاری برای نانوبدانه گذاری AFM به اندازه 1.0 Hz (یک چرخه بارگذاری/عدم بارگذاری در هر ثانیه) تنظیم گردید. حداستانه‌های تحریک از 0.5 تا 2.0 V با مقدار تجمعی 0.5 V تنظیم گردید که متناظر با بارهای پیک مختلف از $11.15 \text{ to } 44.06 \mu\text{N}$ می‌باشد. قبل از کلیه ازمایشات دندانه گذاری، میله‌های استوانه‌ای BMG به استوانه‌های با ضخامت 5 میلیمتری برش خورده و سطح نمونه‌ها به دقت صیقلکاری شد تا یک صیقل اینه ای بدست اید تا زبری میانگین کمتر از 5 نانومتری تضمین شود. تصاویر AFM با همان دندانه گذار که در نانوبدانه گذاری AFM استفاده شده بود، بدست آمد.

3-نتایج

شکل 1 نشان دهنده منحنی های بار-عمق نماینده $(P-h)$ از ازمایشات دندانه گذاری ابزاری می باشد. بخش

بارگذاری منحنی های P_{max} در $(P-h)$ متفاوت بدست امد که به طور کاملی با هم همپوشانی داشت و ثابت کرد که تست ها بطور ملاحظه ای قابل تکرار است.

مزیت تکنیک دندانه گذاری ابزاری انسست که سختی می تواند با تنها تحلیل منحنی $(P-h)$ ارزیابی گردد، بدون اینکه اثر دندانه گذاری باقیمانده مشاهده گردد. متداولترین شیوه انجام این آنالیز از طریق روش Oliver-Pharr ی O-P می باشد. ولیکن ما این شیوه را در کار کنونی دنبال نمی کنیم. دلیلش این است که توده سازی شدید ماده معمولا حول و حوش اثر دندانه گذاری در BMG مشاهده می شود و چنین توده سازی اغلب در روش O-P نادیده گرفته نمی شود که باعث تخمین بیش از حد سختی محاسبه شده است. از توپوگرافی های بعد از مرگ بعد از اینکه نمونه در P_{max} برابر با 50mN (شکل 1a) و 200mN (شکل 1b) دندانه گذاری گردید، توده سازی

بالا و گسترده می تواند مشاهده گردد. نیز در شکل 2 اشکار گردید که نسبت ارتفاع توده سازی $(h_{pile-up})$ به (h_{res}) با کاهش بار پیک افزایش یافت که با نتایج Charleux و همکارانش و Jang عمق باقیمانده ماقزیم و همکارانش در موافقت است.

همانگونه که Jang و همکارانش اشاره کردند، تخمین بیش از حد سختی القایی دراثر توده سازی در عمق کوچکتر مشخص تر است که می تواند به این تردید درباره این امر منجر شود که آیا روند ISE مانند ساختگی است یا خیر. دلیل دیگر اینکه چرا ما روش O-P را انجام ندادیم این است که ثابت همبستگی بتا (که سختی S را به مساحت A مربوط می سازد) نمی تواند برای دندانه گذار در نانودندانه گذاری AFM بدست آید. بعلاوه، سخت است که سختی عدم بارگذاری را دقیقا از قسمت عدم بارگذاری منحنی های $(P-h)$ در نانودندانه گذاری AFM بدست آوریم. برای غلبه بر این مشکلات و کسب سختی صحیح، روش استفاده شده توسط Jang و همکارانش برای SEM بررسی BMGها در کار کنونی اتخاذ شده است. آنها اندازه اثر A را مستقیما از تعداد زیادی تصاویر AFM برای کار ما) اندازه گیری کردند و سختی را طبق رابطه ذیل کسب نمودند:

$$H = \frac{4P}{3\sqrt{3}a^2} \quad (1)$$

که در آن a طول متوسط اندازه گیری شده از مرکز اثر مثلثی تاگوشه می باشد.

ریخت شناسی سطح قبل و بلافاصله بعد از اجرای نانودندانه گذاری AFM در شکل 3a و 3b نشان داده شده است. در شکل 3b، توده سازی عمدۀ ماده نزدیک به دندانه های مثلثی در مقیاس نانومتری از سمت چپ به سمت

راست P_{max} (44.60-11.15 μ N) مشاهده می شود. اندازه و ریخت شناسی دندانه ها طبق یکسان تقریباً یکسان است و نشان دهنده بهره وری و ثبات تست ها می باشد. برای روشنی امر، یک منحنی سطح سه بعدی از ناحیه منتخب شکل 3b در شکل 3c ارائه شد هاست. در سایه روش اشاره شده در فوق برای رسیدگی به توده

سازی در دندانه گذاری ابزاری، منحنی P_{max} در نانودندانه گذاری AFM می تواند همچنین در شکل 2 یافت شود. در اینجا $h_{pile-up}/h_{res}$ متوسط سه مقدار ارتفاع توده سازی یک دندانه مثلثی است چرا که پدیده توده سازی به همان منحصری دندانه سازی ابزاری با مقایسه شکل 1a و b و شکل 3b نیست.

همچنین در شکل 2 نشان داده شده است که P_{max} برای نانودندانه گذاری AFM با افزایش کاهش یافته است که دقیقاً با همان روندی است که مربوط به دندانه گذاری ابزاری می شود. باید گفت که در دندانه گذاری AFM خیلی بزرگتر $(2.176-0.939)$ از دندانه گذاری ابزاری $h_{pile-up}/h_{res}$ است. (0.257-0.163)

تفاوت را می توان به این حقیقت نسبت داد که یک دندانه گذار دقیق تر و P_{max} کوچکتر در نانودندانه گذاری AFM استفاده شده است که باعث یک توده سازی برجسته تر در رفرانس های 25 و 31 و 32 خواهد شد. بعلاوه، مقدار بزرگ $h_{pile-up}/h_{res}$ برای نانودندانه گذاری AFM به ما مجدداً یادآوری می کند که روش O-P می تواند برای محاسبه سختی در این مطالعه مناسب نباشد. تصاویر بزرگ شده AFM دو دندانه نمایانگر مربوط به ی دندانه ی برابر با 22.30 و 44.60 μ N (دایره ها در شکل 3c) با اعداد به ترتیب 1 و 2 در شکل 3d

نشان داده شده است. دندانه های مثلثی منظم با مرزهای روشن می تواند مشاهده شود. همان توپوگرافی در شکل 1 برای دندانه گذاری ابزاری نشان داده شده است.

طبق معادله 1، سختی BMG با پایه آهن با اندازه گیری اندازه اثر از روی تصاویر AFM محاسبه می شود. تنوع سختی که به شکل تابع P_{\max} خلاصه سازی شده است در شکل 4a نشان داده شده است.

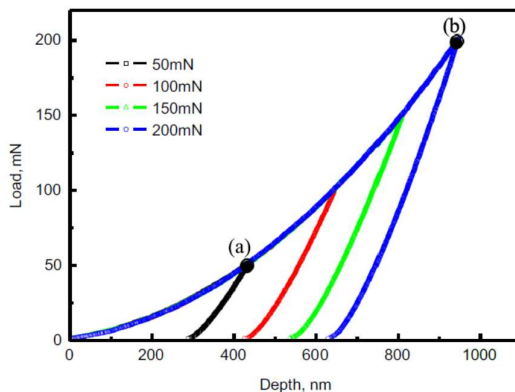
سختی تعیین شده با دندانه گذاری ابزاری برابر با $11.51\text{--}12.51 \text{ GPa}$ می باشد. چون استقامت بازده $H \approx 3\sigma_y$ BMG منتخب به مقدار $\sim 4.0 \text{ GPa}$ تایید شده است، مقدار مزبور با درنظرگیری رابطه $(H \approx 12.0 \text{ GPa})$ منطقی به نظر می رسد. از سوی دیگر، سختی اندازه گیری شده توسط نانودندانه گذاری

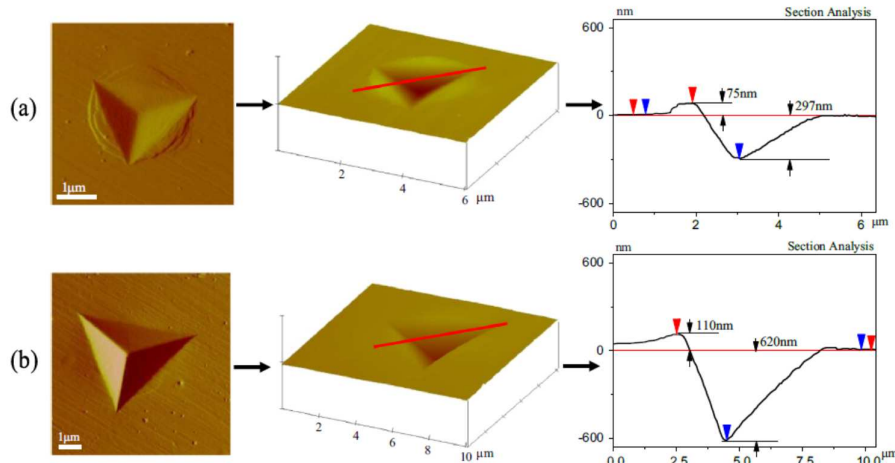
$(9.98\text{--}13.07 \text{ GPa})$ AFM به خوبی با مقدار بدست آمده با دندانه گذاری ابزاری موافقت دارد. با اینحساب ما

نتیجه می گیریم که برای BMG با پایه Fe ، مقدار سختی قابل اتكا می تواند با نانودندانه گذاری AFM با انتخابی در کار کنونی بدست اید. از روی شکل 4a ISE به وضوح در هر دو دندانه مشاهده می شود. با پیروی از معادله Meyer تجربی، یک قانون قدرت برای توضیح مقیاس وابسته به سختی توسط Milman و همکارانش مطرح گردید که در شکل ذیل نشان داده شده است:

$$H = KP_{\max}^n \quad (2)$$

که در آن K مقدار ثابتی است، و $n < 0$ می باشد یعنی سختی H حین افزایش پیک بار P_{\max} کاهش می یابد. تایید شد که معادله 2 می تواند برای بلورهای منفرد و بلورهای متعدد بکار گرفته شود اگر اندازه دندانه سختی کوچکتر از اندازه دانه ای باشد.





شکل 1- منحنی های بار دندانه گذاری ابزاری برحسب عمق در بارهای ماکزیمم مختلف. منحنی های داخلی نشان دهنده ریخت شناسی AFM و بخش اثر باقیمانده روی نمونه بعد از بارگذاری در 50 mN (a) و 200mN (b) می باشد.

چون ISE برای هر دو حالت دندانه گذاری استفاده شده مشاهده می شود، تلاش کرده ایم که بررسی کنیم ایا می تواند طبق معادله 2 توضیح داده شود یا خیر. وابستگی سختی به ماکزیمم بار در یک مختصات لگاریتمی دوبل در شکل 4b نشان داده شده است. تعجبی ندارد که یک خطی سازی خوب میان $\log P_{max}$ و $\log H$ در هر دو دندانه گذاری دیده می شود. در واقع، رفتار مشابه یک Zr-BMG در کار قبلی به تصویر کشیده شده است. ولیکن بدون استفاده از معادله 2 می باشد. معمولاً نمایه قانون n در معادله 2 که مربوط به شیب خط برآش یافته می باشد می تواند به طور کمی ISE را مشخص نماید. از شکل 4b، ما $n = -0.066$ را در دندانه گذاری ابزاری و $n = -0.194$ را در نانو دندانه گذاری AFM به ترتیب یافته ایم. این امر حاکی از انسنست که ISE در نانو دندانه گذاری AFM نسبت به دندانه گذاری ابزاری برجسته تر است.

-4- بحث

گزارش شده است که رویدادهای جریان در شیشه های فلزی با اتساع همراه است یعنی ایجاد حجم آزاد.

در شیشه های فلزی، یک غلظت خاص از نواقص جریان c_f به طور اساسی وجود دارد. طی جریان قابل انعطاف

در درجه حرارت همگن پایین، غلظت نقص افزایش می یابد. تکامل غلظت نقص $c_f(t)$ توسط معادله 36 معین

می شود:

$$\dot{c}_f(t) = a_x \dot{\epsilon}(t) c_f(t) \ln^2 c_f(t) \quad (3)$$

که a_x پارامتر وابسته به درجه حرارت و $\dot{\epsilon}(t)$ میزان کرنش طی دندانه گذاری می باشد. با اینحساب، تولید حجم آزاد طی جریان قابل انعطاف متناسب به میزان کرنش و غلظت نواقص جریان از قبل موجود در نمونه می باشد.

مشخص است که برای مواد الاستیک-پلاستیک تحت دندانه گذاری دقیق، منحنی بارگذاری را می توان چنین



توضیح داد: 

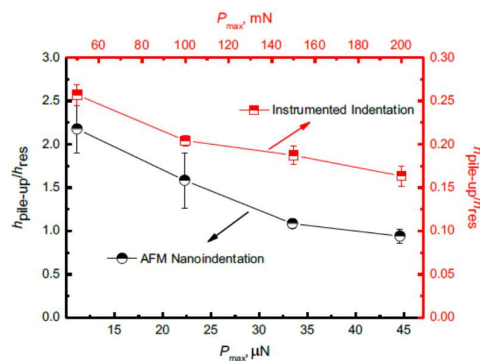
$$P(t) = C h^m(t) \quad (4)$$

که در آن C و m ثابت های مربوط به خصوصیات مادی می باشند. میزان کرنش طی دندانه گذاری را می توان با

رابطه $\dot{\epsilon}(t) = \dot{h}(t)/h(t)$ و با اینحساب برای دندانه گذاری تحت میزان بارگذاری ثابت k (به شکل ذیل بیان گردد):

$$\dot{\epsilon}(t) = \dot{h}(t)/h(t) \quad P(t) = kt$$

$$\dot{\epsilon}(t) = (k/C)^{1/m} \frac{1}{m} (t)^{1/m-1} \frac{1}{(k/C)^{1/m} t^{1/m}} = \frac{1}{mt} \quad (5)$$



شکل 2- تغییر در نسبت ارتفاع توده سازی (h_{res}) به ماکریم عمق باقیمانده $(h_{\text{pile-up}})$ به عنوان

تابعی از P_{max} (X بالایی و 7 سمت راست برای دندانه گذاری ابزاری و X پایینی و 7 چپ برای نانودندانه گذاری AFM به ترتیب)

طبق گفته Spaepen و Argon ، معادله جریان که بر میزان کرنش برشی در شیشه های فلزی حاکم است می تواند به شکل ذیل نوشته شود.

$$\dot{\gamma}(t) = 2c_f(t)\alpha_0 k_{f,0} \frac{\varepsilon_0 v_0}{\Omega} \sinh\left(\frac{\tau \varepsilon_0 v_0}{2k_B T}\right) \exp\left(-\frac{\Delta G}{k_B T}\right) \quad (6)$$

براساس معادله جریان شیشه های فلزی کلاسیک تدوین شده توسط Van Spaepen & Argon ، آقایان Steenberge و همکارانش یک رابطه بین سختی و میزان کرنش به ترتیب ذیل مطرح ساخت:

$$H(\approx 3\sqrt{3}\tau) \propto \sinh^{-1}\left(\frac{\alpha\dot{\gamma}}{c_f}\right) \quad (7)$$

که در آن τ استرس برشی است، $\dot{\gamma}$ یک مقدار ثابت است، و c_f میزان کرنش برشی مناسب با میزان کرنش به شکل

یک قسمت بارگذاری 40 ثانیه ای در $\dot{\epsilon} = \dot{h}/h$ مختلف می باشد. توجه کنید که تابع دندانه گذاری Van Steenberge و همکارانش شامل

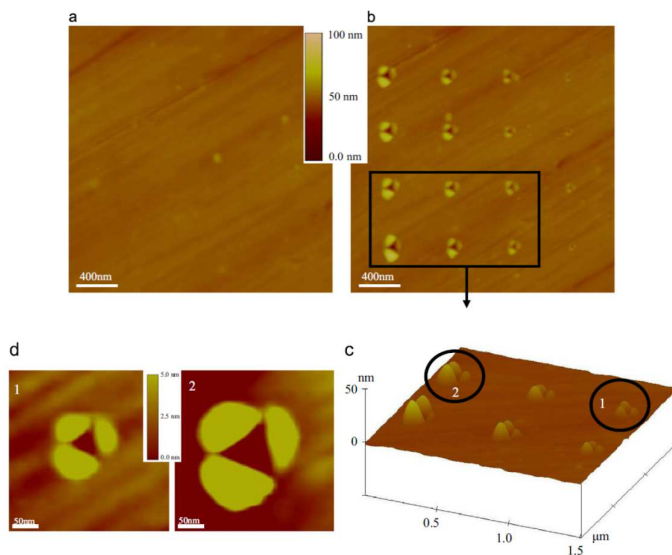
مقدار $\dot{\epsilon}$ کوچکتر در h اختیاری طی فرایند بارگذاری دندانه گذاری می باشد هرچند همه مقادیر P_{max} تمایل دارند که سرانجام ثابت باشند، همانگونه که در شکل 4 در رفانس 24 دیده می شود. طبق معادله 3 ، تولید حجم

آزاد برای P_{max} بزرگتر بر جسته تر است و ISE با اینحساب براساس رابطه 4 الی 7 مشاهده خواهد شد.

نرم شدگی کرنشی در اثر تجمع مداوم بیش بود حجم ازاد طی بدشکلی به طور موفقیت آمیز برای توضیح ISE در شیشه های فلزی استفاده شده است که اخیراً توسط Jang و همکارانش حذف شده است که ازمایشات دندانه

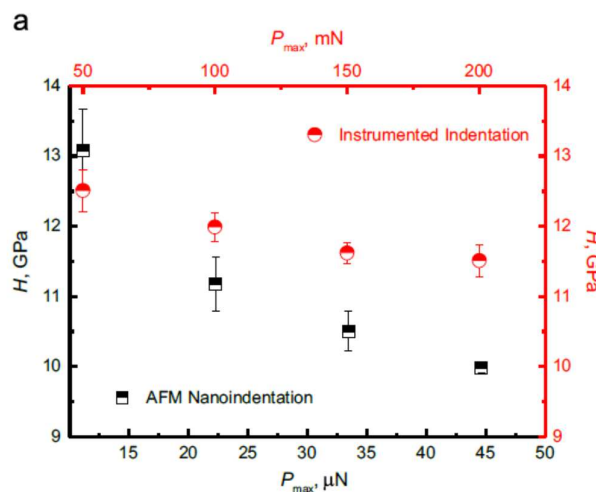
گذاری را تحت یک میزان کرنش ثابت (0.05 s^{-1}) به جای یک زمان بارگذاری ثابت برای بررسی علت اصلی

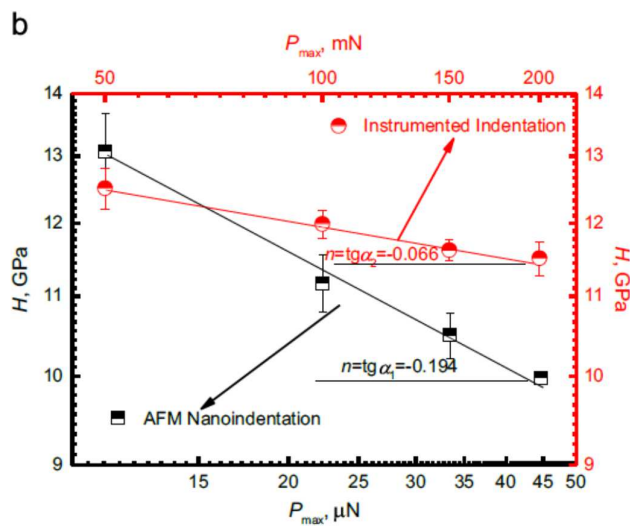
ISE مشاهده شده در یک BMG با پایه Zr اجرا کرده است.



شکل 3- نتایج نانوبدانه گذاری ماتریس $4 \times 4 \text{ AFM}$ BMG با پایه آهن. (a) تصویر قبل از دندانه گذاری. (b)

دندانه گذاری تصویر و P_{max} از 11.15 به 44.60 μN (از به ترتیب دندانه گذاری بالایی سمت راست به نوع سمت چپ پایینی) افزایش یافته است. (c) تصویر AFM توپوگرافیکی مساحت اختخابی در (b)، (d) تصاویر بزرگشده از دندانه های علامتگذاری شده به شکل c). (نوبت اول $P_{max}=44.60 \mu\text{N}$ و نوبت دوم $P_{max}=22.30 \mu\text{N}$) AFM معادل می باشد.





شکل 4-وابستگی سختی روی بار دندانه گذاری (محور X بالایی و محور Y سمت راست برای دندانه گذاری ابزاری ، محور X پایین و محور Y سمت چپ برای نانودندانه گذاری AFM) (a) در مختصات خطی و (b) در مختصات لگاریتمی دوبل.

انها بحث کردند که چون میزان کرنش دندانه گذاری ثابت باقی مانده، ΔE با به انتظار رخ نمی دهد. در کار کنونی، میزان بارگذاری ثابت (2 mN s^{-1}) برای دندانه گذاری ابزاری استفاده می شود. با اینحساب، برای متفاوت، میزان کرنش دندانه گذاری نیز در یک h خاصی ثابت خواهد بود که منجر به فقدان ΔE می باشد که با پدیده تجربی هماهنگ نمی باشد. مع ذک، ما در اینجا همچنان به مکانیسم نرمسازی کرنش ایجاد شده توسط Vansteenberge برای دلایل ذیل اتکا می کنیم.

تولید حجم ازad طی جریان قابل انعطاف نه تنها متناسب با میزان کرنشی، بلکه متناسب با غلظت نواقص جریان

از قبل موجود در نمونه می باشد. طبق معادله 3)، غلظت نواقص c_f همچنان افزایش می یابد مادامی که جریان

قابل انعطاف باشد. اگر ترکیب عددی معادله 3 را لحاظ کنیم (هرچند نمی تواند در اینجا به دلیل

فقدان پارامترهای مناسب مانند α_x وغیره محاسبه شود) با مقدار اولیه قابل کاربرد می توانیم دست کم بفهمیم که مقدار ایجاد نقص همچنین به زمان ازمایش بستگی خواهد داشت. طی دندانه گذاری تحت میزان کرنش

ثابت یا میزان بارگذاری ثابت (دندانه گذاری ابزاری در کار ما)، هرچه P_{max} کاربردی بالاتر باشد، مدت طولانی تری برای رسیدن به P_{max} نیاز است و با اینحساب مقدار بیشتری حجم ازاد با درنظرگیری ترکیب عددی معادله 3 جمع می شود.

از سوی دیگر، نرم شدگی مکانیکی همراه با بدشکلی که ایجاد حجم ازاد می کند الزاماً فوری رخ نمی دهد. در واقع رفتار بدشکلی وابسته به زمان طی دندانه گذاری و فشرده سازی تک محوری BMG‌ها در درجه حرارت اتاق گزارش شده است. از اینرو در تست دندانه گذاری بدون دوره نگهداری، حجم ازاد تولید شده طی مرحله اولیه بارگذاری می تواند اثری را بر رفتار نرم شدگی مکانیکی قسمت بارگذاری ذیل داشته باشد. عبارت دیگر، برای سازگاری با حجم ازاد اضافی تولید شده قبلی، دندانه گذاری با افزایش بار همچنان طی زمان نرم خواهد شد. بعلاوه، غلط نقص افزایش یافته بعد از فرایند ایجاد حجم ازاد تسريع خواهد شد که طبق معادله 3 می باشد. با اینحساب بادرنظرگیری سابقه بارگیری همراه با وقفعه میان خلق حجم و نرم شدگی مکانیکی (یعنی خصوصیت دینامیک نرم شدگی)، حجم آزادتر برای دندانه گذاری با بار پیک بزرگتر جمع بندی خواهد شد که نیاز به زمان بیشتری برای رسیدن به P_{max} دارد که ISE مشاهده شده را بدست می دهد.

برای نانو دندانه گذاری AFM در کار کنونی، فرکانس چرخه دندانه گذاری به اندازه 1.0Hz تنظیم گردید. با اینحساب هرچه بار پیک بزرگتر باشد، میزان کرنش بالاتر خواهد بود. با اینحساب مکانیسم مبتنی بر میزان کرنش وابسته به نرم شدگی مکانیکی برای توضیح ISE برجسته خواهد بود. بعلاوه، طبق گفته Jang و همکارانش، رخداد STZ‌ها می تواند تحت کنترل اندازه دندانه گذاری یا حجم بدشکلی الاستیک/قابل انعطاف القایی با دندانه گذاری باشد. سختی بالاتری را می توان در دندانه گذاری کم عمق با استفاده از یک دندانه گذار دقیق تر با زاویه تنا خطر مرکزی به وجه کوچکتر مشاهده کرد. این امر بدان خاطر است که حجم تحت استرس بالای زیر دندانه گذار به قدری کوچک است که جمعیت کافی از STZ‌ها را ندارد با اینحساب شیشه برای برش بویژه محل ها لازم است. زاویه تنا در دندانه گذار AFM، حدود 30 درجه می باشد که کوچکتر از زاویه دندانه گذار ابزاری با حدود 65.3 درجه می باشد. ازا ینرو بار خیلی پایین همراه با اثر زاویه روی سختی می تواند در ISE برجسته تر در نانو دندانه گذاری AFM مشاهده شده در کار کنونی بنا به شکل 4 نقش داشته باشد.

5-نتیجه گیری ها

نانو سختی و میکروسختی $(\text{Fe}_{0.432}\text{Co}_{0.288}\text{B}_{0.192}\text{Si}_{0.048}\text{Nb}_{0.04})_{98}\text{Cr}_2$ BMG با نانودندانه گذاری AFM و

دندانه گذاری ابزاری تحت بارهای ماکریم مختلف در درجه حرارت اتاق کمیت سنجی گردید. مشخص شد که

نانوسختی و میکروسختی قابل مقایسه نبود. تحت هر دو حالت دندانه گذاری، ISE به شکل افزایش سختی H با

کاهش بار پیک دندانه گذاری P_{max} ظاهر کرد. نرم شدگی وابسته به میزان کرنش در اثر تجمع مداوم مازاد

حجم اضافی طی بدشکلی، همراه با سابقه بارگیری و وقفه میان ایجاد حجم آزاد و نرم شدگی مکانیکی مطرح

گردید که مسئول ISE در BMG می باشد. در نانودندانه گذاری AFM، ISE مشخص گردید که اهمیت بیشتری

نسبت به دندانه گذاری ابزاری دارد که به P_{max} نسبتاً پایین تر و دندانه گذار دقیق تر نسبت داده می شود.



References

- [1] R. Vaidyanathan, M. Dao, G. Ravichandran, S. Suresh, *Acta Mater.* 49 (2001) 3781.
- [2] A. Greer, A. Castellero, S. Madge, I. Walker, J. Wilde, *Mater. Sci. Eng. A* 375–377 (2004) 1182.
- [3] T. Ichitsubo, S. Hosokawa, K. Matsuda, E. Matsubara, N. Nishiyama, S. Tsutsui, A.Q.R. Baron, *Phys. Rev. B* 76 (2007) 140201.
- [4] J. Das, M.B. Tang, K.B. Kim, R. Theissmann, F. Baier, W.H. Wang, J. Eckert, *Phys. Rev. Lett.* 94 (2005) 205501.
- [5] B.J. Park, H.J. Chang, D.H. Kim, W.T. Kim, K. Chattopadhyay, T.A. Abinandanan, S. Bhattacharyya, *Phys. Rev. Lett.* 96 (2006) 245503.
- [6] A. Concstell, N. Mattern, H. Wendrock, U. Kuehn, A. Gebert, J. Eckert, A. Greer, J. Sort, M. Baro, *Scr. Mater.* 56 (2007) 85.
- [7] H. Wagner, D. Bedorf, S. Küchemann, M. Schwabe, B. Zhang, W. Arnold, K. Samwer, *Nat. Mater.* 10 (2011) 439.
- [8] X.H. Du, J.C. Huang, K.C. Hsieh, Y.H. Lai, H.M. Chen, J.S.C. Jang, P.K. Liaw, *Appl. Phys. Lett.* 91 (2007) 131901.
- [9] Y.H. Liu, G. Wang, R.J. Wang, D.Q. Zhao, M.X. Pan, W.H. Wang, *Science* 315 (2007) 1385.
- [10] Y.H. Liu, D. Wang, K. Nakajima, W. Zhang, A. Hirata, T. Nishi, A. Inoue, M. W. Chen, *Phys. Rev. Lett.* 106 (2011) 125504.
- [11] J.G. Wang, D.Q. Zhao, M.X. Pan, C.H. Shek, W.H. Wang, *Appl. Phys. Lett.* 94 (2009) 031904.
- [12] B.-G. Yoo, K.-W. Park, J.-C. Lee, U. Ramamurty, J.-I. Jang, *J. Mater. Res.* 24 (2009) 1405.
- [13] B.-G. Yoo, Y.-J. Kim, J.-H. Oh, U. Ramamurty, J.-I. Jang, *Scr. Mater.* 61 (2009) 951.
- [14] B.-G. Yoo, J.-Y. Kim, Y.-J. Kim, I.-C. Choi, S. Shim, T.Y. Tsui, H. Bei, U. Ramamurty, J.-I. Jang, *Int. J. Plast.* 37 (2012) 108.
- [15] I.-C. Choi, Y.-J. Kim, Y.M. Wang, U. Ramamurty, J.-I. Jang, *Acta Mater.* 61 (2013) 7313.
- [16] I.-C. Choi, Y. Zhao, Y.-J. Kim, B.-G. Yoo, J.-Y. Suh, U. Ramamurty, J.-I. Jang, *Acta Mater.* 60 (2012) 6862.
- [17] B. Bhushan, V.N. Koirkar, *Appl. Phys. Lett.* 64 (1994) 1653.
- [18] F. Sansoz, T. Gang, *Ultramicroscopy* 111 (2010) 11.
- [19] H. Zhang, J. Tang, L. Zhang, B. An, L.-C. Qin, *Appl. Phys. Lett.* 92 (2008) 173121.
- [20] X. Li, H. Gao, C.J. Murphy, L. Gou, *Nano Lett.* 4 (2004) 1903.
- [21] S.N. Dub, Y.Y. Lim, M.M. Chaudhri, *J. Appl. Phys.* 107 (2010) 043510.
- [22] I. Manika, J. Maniks, *Acta Mater.* 54 (2006) 2049.
- [23] Y.V. Milman, A.A. Golubenko, S.N. Dub, *Acta Mater.* 59 (2011) 7480.
- [24] N. Vansteenberghe, J. Sort, A. Concstell, J. Das, S. Scudino, S. Surinach, J. Eckert, M. Baro, *Scr. Mater.* 56 (2007) 605.
- [25] J.-I. Jang, B.-G. Yoo, Y.-J. Kim, J.-H. Oh, L.-C. Choi, H. Bei, *Scr. Mater.* 64 (2011) 753.
- [26] F. Yang, K. Geng, P. Liaw, G. Fan, H. Choo, *Acta Mater.* 55 (2007) 321.
- [27] N. Li, K.C. Chan, L. Liu, J. Phys. D: Appl. Phys. 41 (2008) 155415.
- [28] N. Li, L. Liu, K.C. Chan, Q. Chen, J. Pan, *Intermetallics* 17 (2009) 227.
- [29] Z.L. Long, Y. Shao, G.Q. Xie, P. Zhang, B.L. Shen, A. Inoue, *J. Alloys Compd.* 462 (2008) 52.
- [30] W.C. Oliver, G.M. Pharr, *J. Mater. Res.* 7 (1992) 1564.
- [31] L. Charleux, S. Gravier, M. Verdier, M. Fivel, J.J. Blandin, *J. Mater. Res.* 22 (2007) 525.
- [32] L. Charleux, S. Gravier, M. Verdier, M. Fivel, J.J. Blandin, *Mater. Sci. Eng. A* 483–484 (2008) 652.
- [33] D. Pan, A. Inoue, T. Sakurai, M.W. Chen, *Proc. Natl. Acad. Sci. USA* 105 (2008) 14769.
- [34] F. Spaepen, *Acta Metall.* 25 (1977) 407.
- [35] A.S. Argon, *Acta Metall.* 27 (1979) 47.
- [36] P. de Hey, J. Sietsma, A. van den Beukel, *Acta Mater.* 46 (1998) 5873.
- [37] M. Heggen, F. Spaepen, M. Feuerbacher, *J. Appl. Phys.* 97 (2005) 033506.
- [38] L. Anand, C. Su, *Acta Mater.* 55 (2007) 3735.
- [39] A. Concstell, J. Sort, A.L. Greer, M.D. Baro, *Appl. Phys. Lett.* 88 (2006) 171911.
- [40] Y.J. Huang, J. Shen, Y.L. Chiu, J.J. Chen, J.F. Sun, *Intermetallics* 17 (2009) 190.
- [41] A. Castellero, B. Moser, D.I. Uhlenhaut, F.H.D. Torre, *Acta Mater.* 56 (2008) 3777.
- [42] F. Xu, Z.L. Long, X.H. Deng, P. Zhang, *Nonferrous Met. Soc. China* 23 (2013) 1646.
- [43] J.C. Ye, J. Lu, C.T. Liu, Q. Wang, Y. Yang, *Nat. Mater.* 9 (2010) 619.
- [44] H.B. Ke, P. Wen, H.L. Peng, W.H. Wang, A.L. Greer, *Scr. Mater.* 64 (2011) 966.

برای خرید فرمت ورد این ترجمه، بدون واتر مارک، اینجا کلیک نمایید.



این مقاله، از سری مقالات ترجمه شده رایگان سایت ترجمه فا میباشد که با فرمت PDF در اختیار شما عزیزان قرار گرفته است. در صورت تمایل میتوانید با کلیک بر روی دکمه های زیر از سایر مقالات نیز استفاده نمایید:

✓ لیست مقالات ترجمه شده

✓ لیست مقالات ترجمه شده رایگان

✓ لیست جدیدترین مقالات انگلیسی ISI

سایت ترجمه فا؛ مرجع جدیدترین مقالات ترجمه شده از نشریات معتبر خارجی